

- [6] Фридкин В. М. Фотосегнетоэлектрики. М.: Наука, 1979. 264 с.
 [7] Shöllhorn R. J. Pure and Appl. Chem., 1984, vol. 56, N 12, p. 1739—1752.
 [8] Рыбайло В. О., Григорчак И. И., Ковалюк З. Д. ФТТ, 1987, т. 29, № 5, с. 1508—1509.
 [9] Фридкин В. М. Сегнетоэлектрики—полупроводники. М.: Наука, 1976. 408 с.
 [10] Лайнс М., Гласс А. Сегнетоэлектрики и родственные им материалы. М.: Мир, 1981. 736 с.

Институт проблем материаловедения
АН УССР
Черновицкое отделение
Черновцы

Поступило в Редакцию
22 июля 1988 г.

УДК 537.622.5

Физика твердого тела. том 31, в. 2, 1989
Solid State Physics. vol. 31, N 2, 1989

СЛАБЫЙ ФЕРРОМАГНЕТИЗМ $\alpha\text{-KMnCl}_3$

H. B. Федосеева, T. A. Великанова

Оптически прозрачный хлорид калия—марганца кристаллизуется из расплава с идеальной перовскитной структурой, при понижении температуры испытывает ряд структурных фазовых переходов с малыми искажениями исходной ячейки и в магнитоупорядоченной фазе принадлежит пространственной группе D_{2h}^{16} [1]. Из магнитных статических

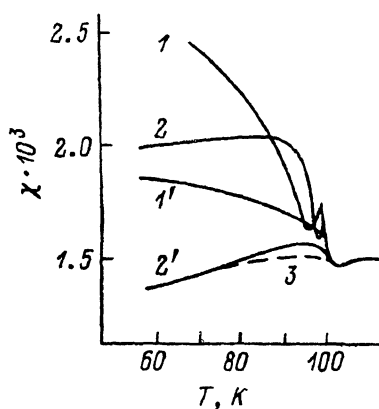


Рис. 1. Зависимость магнитной восприимчивости $\alpha\text{-KMnCl}_3$ от температуры в окрестности $|T_N|$.

1, 1' — $[110]$; 2, 2' — $[001]$; 3 — порошок,
 $H=0$. 1, 2 — $H=0.1$; 1', 2' — 3.3 кЭ.

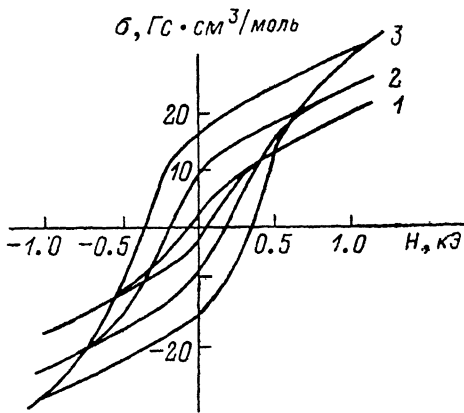


Рис. 2. Петля гистерезиса $\alpha\text{-KMnCl}_3$ при $H \parallel [110]$ и $T=96$ (1), 86 (2), 33.4 К (3).

нейтронографических исследований установлено, что $\alpha\text{-KMnCl}_3$ является антиферромагнетиком G -типа с $T_N=98$ К, параметры обменного взаимодействия в первой и второй координационной сферах соответственно $J_1/k=-4.1$ и $J_2/k=-1.0$ К [2, 3].

Переход в магнитоупорядоченное состояние кристалла $\alpha\text{-KMnCl}_3$ происходит со скачком восприимчивости (рис. 1) и температурным гистерезисом. Величина скачка восприимчивости уменьшается с увеличением поля измерений и зависит от ориентации кристалла ($[110]$, $[001]$ — псевдо-

кубические направления исходной перовскитной структуры). Здесь же приведена зависимость $\chi(T)$ для порошкового образца с размером зерен до 60 мкм, для которого скачок восприимчивости мал по сравнению с монокристаллом. Такое поведение связано с первородностью перехода и может быть обусловлено магнитострикционным механизмом, а также появлением при T_N слабого ферромагнитного момента [4].

Симметрия $\alpha\text{-KMnCl}_3$ в магнитоупорядоченном состоянии допускает существование слабого ферромагнетизма (элементарная ячейка совпадает с кристаллической и является четной относительно всех трансляций решетки) [5]. Исследования зависимости магнитного момента $\alpha\text{-KMnCl}_3$ от внешнего поля $M(H)$ показали, что поведение кристалла соответствует антиферромагнетику со слабым ферромагнетизмом. Экспериментально установлено, что при $T < T_N$ вектор антиферромагнетизма \mathbf{l} направлен вдоль одной из нечетных осей [001], а слабый ферромагнитный момент \mathbf{m}_s — вдоль другой [110]. Эти направления не изменяются до $T=4.2$ К.

На рис. 2 приведены петли гистерезиса, снятые при $H \parallel [110]$ и различных температурах. Необходимо заметить, что при измерениях в других кристаллографических направлениях слабый момент также наблюдался, но имел значительно (на порядок) меньшую величину, что связано с двойникением кристалла $\alpha\text{-KMnCl}_3$ при структурных фазовых переходах [1]. Однако направления \mathbf{l} и \mathbf{m}_s , определенные с учетом двойникования, можно считать установленными однозначно, что подтверждают измерения на монодоменизированном (раздвойникованном) кристалле $\alpha\text{-KMnCl}_3$ в интервале температур 77—300 К.

Таким образом, в работе определены величина слабого ферромагнитного момента при $T=4.2$ К $m_s=20$ Гс·см³/моль и эффективные поля ($\kappa\mathcal{E}$): обменное $H_E=9.3 \cdot 10^2$, Дзялошинского $H_D=1.3$, анизотропии $H_A=0.2$, т. е. $H_E \ll H_D \ll H_A$. Исследование зависимости слабого ферромагнитного момента от температуры показало, что до $T \leqslant 70$ К m_s/m_s^0 следует функции Бриллюэна для $S=5/2$, а при $70 \text{ K} < T < 98$ К экспериментальные точки расположены выше теоретической кривой. Наблюдаемая при этом зависимость m_s/m_s^0 во всем интервале температур совпадает с аналогичной зависимостью для намагниченности подрешеток, определенной в [3], что свидетельствует о том, что угол скоса подрешеток ($\varphi \sim 0.04^\circ$), обуславливающий слабый ферромагнитный момент, не меняется с температурой.

Л и т е р а т у р а

- [1] Александров К. С., Федосеева Н. В., Спекакова И. П. Магнитные фазовые переходы в галоидных кристаллах. Новосибирск: Наука, 1983. 194 с.
- [2] Федосеева Н. В., Великанова Т. А., Величко В. В. В сб.: Магнитные и резонансные свойства магнитодизлектриков. Красноярск, 1985, с. 75—100.
- [3] Gurewitz E., Melamud M., Horowitz A. Phys. Rev., 1982, vol. B5, N 8, p. 5220—5229.
- [4] Rodbell D. S., Jakobs I. S., Owen I. et al. Phys. Rev. Lett., 1963, vol. 11, N 1, p. 10—12.
- [5] Туров Е. А. Физические свойства магнитоупорядоченных кристаллов. М.: Изд-во АН СССР, 1963. 224 с.

Институт физики им. Л. В. Киренского
СО АН СССР
Красноярск

Поступило в Редакцию
7 апреля 1988 г.
В окончательной редакции
27 июля 1988 г.